

Учитывая (5), получим

$$\frac{1}{f} \frac{df(i)}{di} = -\frac{\tilde{P}_{1,0}}{y_1} e^{(\delta_{VT}+y_2)i} - \frac{A_{1,0}}{y_1} e^{y_2 i}.$$

Откуда

$$f(i) = f_0 \exp \left[ -\frac{P_{1,0} (e^{(\delta_{VT}+y_2)i} - 1)}{y_1 (\delta_{VV} + y_2)} - \frac{A_{1,0} (e^{y_2 i} - 1)}{y_1 y_2} \right].$$

Такое же решение найдем из (6), если положить  $Q_{1,0} = 0$ .

Для определения населенности колебательных уровней нижнего электронного состояния можно воспользоваться решением из [8]. Знание функций распределения молекул по колебательным уровням верхнего и нижнего электронных состояний и вероятностей образования молекул в этих состояниях в элементарном акте возбуждения позволяет оценить частичную инверсию населенности на этих электронных состояниях. Определение изменения во времени частичной инверсии населенности требует детального анализа кинетических уровней всей совокупности физических процессов.

#### ЛИТЕРАТУРА

1. Башкин А. С., Кундриянов Н. Л., Ораевский А. Н. О химических лазерах видимого диапазона // Квантовая электроника. — 1978. — Т. 5, № 12.
2. Heberlin J. M., Cohen N. Help: A model for evaluating the feasibility of using various chemical reaction as electronic lasers // J. Quant. Spectrosc. Radiat. Transfer. — 1975. — V. 15, N 9.
3. Qi Z., Ruiping H., Fengting S. et al. Studies of visible chemical lasers. I. Electronic transition 1F chemical laser // Chinese Physics-Lasers. — 1988. — V. 15, N 1.
4. Jones C. R., Broida H. P. Gas-phase reaction of Ba with N<sub>2</sub>O. I. Measurement of production efficiency of excited states // J. Chem. Phys. — 1974. — V. 60, N 11.
5. Field R. W., Jones C. R., Broida H. P. Gas-phase reaction of Ba with N<sub>2</sub>O. II. Mechanism of reaction // J. Chem. Phys. — 1974. — V. 60, N 11.
6. Wentink T., Robert J., Spindel J. Franck — Condon factors, r-centroids and oscillator strength of BaO // J. Quant. Spectrosc. Radiat. Transfer. — 1972. — V. 12, N 2.
7. Ораевский А. Н., Савва В. А. Возбуждение колебаний молекулы лазером и химические реакции // Краткие сообщения по физике. — 1970. — № 7.
8. Гордиец Б. Ф., Мамедов Ш. С. Функция распределения и скорость релаксации колебательной энергии в системе ангармонических осцилляторов // ПМТФ. — 1974. — № 3.

г. Москва

Поступила 15/V 1990 г.

УДК 538.24.42

C. A. Каухман

#### ПРЕДЕЛЬНЫЕ РЕЖИМЫ УСКОРЕНИЯ ПРОВОДНИКОВ ЭЛЕКТРОМАГНИТНЫМИ СИЛАМИ

Ускорение проводников электромагнитными силами — процесс, используемый для исследования высокоскоростных соударений [1, 2]. Если нагрев метаемого тела рассмотрен достаточно подробно [3, 4], то механические деформации и напряжения в проводнике в процессе разгона изучены недостаточно. Вместе с тем ясно, что деформация проводника может не только исказить картину высокоскоростного взаимодействия, но и привести к развалу его на отдельные фрагменты, ориентированные хаотически, ускорение которых уже невозможно. Цель данной работы — изучение предельных режимов ускорения с точки зрения допустимых деформаций и выбор параметров, обеспечивающих достижение наибольшей скорости.

Рассмотрим движение в направлении оси OZ, перпендикулярной оси проводящего упругого стержня длиной  $l$ , массой на единицу длины  $m$ , под действием распределенной вдоль стержня электромагнитной нагрузки  $F(y, t) = (B + Ay)^2 \sin^2 \omega t$ ,  $y \in [0,5l; -0,5l]$ ,  $A, B$  — постоянные.

Подобная зависимость ускоряющей силы характерна для электромагнитных ускорителей, описанных в [2, 4]. Движение стержня можно представить как поступательное вместе с подвижной системой координат, связанной с центром масс, и относительное в ней. Используя теорему о движении центра масс, считая в начальный момент деформации и скорости равными нулю, после интегрирования найдем закон движения подвижной системы координат (центра масс) относительно неподвижной:

$$(1) \quad Z_c = \frac{Al^2 + 12B}{48m\omega^2} (\omega^2 t^2 - \sin^2 \omega t).$$

Для тонких стержней, когда можно пренебречь влиянием инерции вращения и поперечных деформаций сдвига, движение проводника в подвижной системе описывается уравнением упругих колебаний [5]

$$(2) \quad EJ\alpha^{IV} + m\ddot{\alpha} = f(y, t),$$

где  $\alpha$  — прогиб, обусловленный деформацией изгиба;  $E$  — эффективный с учетом импульсного характера нагружения и нагрева модуль упругости;  $J$  — момент инерции;  $f(y, t) = A(y^2 - l^2/12) \sin^2 \omega t$ ; начальные и граничные условия:

$$\alpha(y, 0) = 0, \dot{\alpha}(y, 0) = 0,$$

$$\alpha''(l/2, t) = \alpha''(-l/2, t) = 0, \alpha'''(l/2, t) = \alpha'''(-l/2, t) = 0$$

(точка и штрих означают производные по времени  $t$  и координате  $y$ ).

Основываясь на известном решении уравнения (2), приведенного, например, в [5], после преобразований найдем

$$(3) \quad \alpha(\varepsilon, t) = -\frac{Al^6}{EJ} \sum_{i=1}^{\infty} \frac{\operatorname{tg} \frac{\xi_{2i-1}}{2}}{\xi_{2i-1}^7} \left( \frac{\operatorname{sh} \varepsilon \xi_{2i-1}}{\operatorname{ch} \frac{\xi_{2i-1}}{2}} - \frac{\sin \varepsilon \xi_{2i-1}}{\cos \frac{\xi_{2i-1}}{2}} \right) \times \\ \times \left( 1 + \frac{4\omega_1^2 \cos \xi_{2i-1}^2 \tau - \xi_{2i-1}^4 \cos 2\omega_1 \tau}{\xi_{2i-1}^4 - \frac{4\omega_1^2}{3}} \right), \quad F(\varepsilon, \tau) = (B + A\varepsilon^2) \sin^2 \omega_1 \tau,$$

где  $\varepsilon = y/x_0$ ;  $\varepsilon \in [-0,5; 0,5]$ ;  $\omega_1 = \omega t_0$ ;  $\tau = t/t_0$ ;  $x_0 = l$ ;  $t_0 = l^2/a$ ;  $a = EJ/m$ ;  $\xi_{2i-1}$  — корни уравнения  $\cos \xi_{2i-1} = \operatorname{ch}^{-1} \xi_{2i-1}$ .

В зависимости от знака постоянной  $A$  возможны два случая профиля электромагнитной нагрузки: нагрузка в центре стержня ( $\varepsilon = 0$ ) больше, чем по краям, и нагрузка на краях превышает ее значение в центре. Исследуем предельные режимы ускорения в обоих случаях.

1. Параметр  $A = -A_1$ ,  $A_1 \geq 0$ . При этом в стержне возникают растягивающие напряжения  $\sigma_1$  вследствие изгиба и растягивающих усилий и напряжения  $\sigma_2$ , образующиеся под действием горизонтальной  $y$  составляющей электромагнитной силы. Следуя [6], запишем

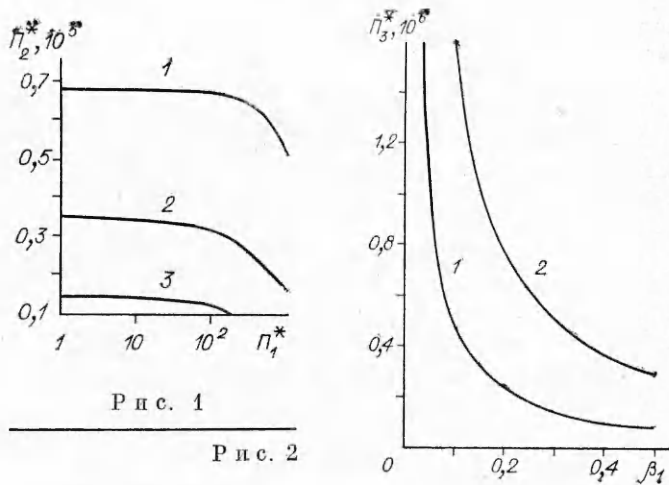
$$(4) \quad \sigma_1 = -\alpha''Er, \quad \sigma_2 = \frac{1}{S} \int_{-0,5}^{\varepsilon} B(1 - \beta_1 \varepsilon^2) \frac{\partial \alpha}{\partial \varepsilon} d\varepsilon.$$

Здесь  $r$  — координата крайней точки сечения;  $\alpha'' = \frac{1}{l^2} \frac{\partial^2 \alpha}{\partial \varepsilon^2}$ ;  $\beta_1 = A_1 l^2/B$ ;  $S$  — площадь сечения. Условие разрушения проводника:  $\sigma_1 + \sigma_2 = [\sigma]$ , где  $[\sigma]$  определяется механическими свойствами материала с учетом импульсного характера нагружения и нагрева.

Из (3), (4) получим уравнение для расчета предельного по условиям разрушения режима ускорения:

$$(5) \quad 1 - 4 \left[ \Pi_2^* \beta_1 \sin^2 \omega_1 \tau \int_{-0,5}^{\varepsilon_1} (1 - \beta_1 \varepsilon^2) \Sigma_{i2} d\varepsilon - \Pi_1^* \beta_1 \Sigma_{i1} \right] = 0,$$

$$\Pi_1^* = \frac{l^2 r B}{J [\sigma]}, \quad \Pi_2^* = \frac{B^2 l^4}{EJS [\sigma]},$$



$$\Sigma_{i1} = \sum_{i=1}^{\infty} \frac{\operatorname{tg} \frac{\xi_{2i-1}}{2}}{\xi_{2i-1}^5} \left( \frac{\operatorname{ch} \frac{\xi_{2i-1} \varepsilon_1}{2}}{\operatorname{sh} \frac{\xi_{2i-1}}{2}} - \frac{\cos \frac{\xi_{2i-1} \varepsilon_1}{2}}{\sin \frac{\xi_{2i-1}}{2}} \right) f_{2i-1}(\tau),$$

$$\Sigma_{i2} = \sum_{i=1}^{\infty} \frac{\operatorname{tg} \frac{\xi_{2i-1}}{2}}{\xi_{2i-1}^6} \left( \frac{\operatorname{sh} \frac{\xi_{2i-1} \varepsilon_1}{2}}{\operatorname{ch} \frac{\xi_{2i-1}}{2}} - \frac{\sin \frac{\xi_{2i-1} \varepsilon_1}{2}}{\cos \frac{\xi_{2i-1}}{2}} \right) f_{2i-1}(\tau),$$

$$f_{2i-1}(\tau) = 1 + (\xi_{2i-1}^4 - 4\omega_1^2)^{-1} (4\omega_1^2 \cos \xi_{2i-1}^2 \tau - \xi_{2i-1}^4 \cos 2\omega_1 \tau).$$

В случае резонанса на одной из частот, когда  $\xi_{2i-1}^2 = 2\omega_1$ , выражение для временного сомножителя принимает вид

$$f_{2i-1}(\tau) = 1 - (\omega_1 \tau \sin 2\omega_1 \tau + \cos 2\omega_1 \tau).$$

С использованием соотношения (5) рассчитаны кривые опасных параметров (рис. 1,  $\omega_1 = 31,4$ ,  $\beta_1 = 0,1; 0,2; 0,5$  — линии 1—3) при различных значениях частоты ускоряющей силы и степени неоднородности силовой нагрузки  $\beta_1$ . Определялись координата  $\varepsilon_1$  стержня, а также момент времени в пределах первого полупериода, в которых растягивающие напряжения наибольшие. Результаты расчетов показывают, что основной вклад в деформацию проводника, исключая случай резонанса, вносит первую гармоника. Значения фазового угла  $\omega_1 \tau$ , соответствующего наибольшим напряжениям, превышают  $\pi/2$ .

2. Параметр  $A > 0$ . В этом случае появляющиеся вследствие изгиба стержня горизонтальные составляющие электромагнитной силы могут привести к потере устойчивости ранее, чем произойдет разрушение за счет сжимающих напряжений. Для определения критического значения силы воспользуемся энергетическим методом [6], основанным на равенстве работы критической силы энергии изгиба. Учитывая малую величину прогибов и задаваясь уравнением упругой линии в виде  $y = C(1 - \cos \varphi)$ , после преобразований для критического значения силового параметра получим

$$(6) \quad \Pi_3^* = \left\{ \frac{8 \sin^2 \omega_1 \tau}{\pi^2} \int_0^{0,5} \beta_1 (1 + \beta_1 \varepsilon^2) \left( \varepsilon - \frac{\sin 2\pi \varepsilon}{2\pi} \right) \Sigma_{i2} d\varepsilon \right\}^{-1}$$

$$\left( \Pi_3^* = B^2 \frac{l^6}{(FJ)^2} \right).$$

Результаты расчетов по соотношению (6) (рис. 2,  $\omega_1 = 3,14$  и  $31,4$  — линии 1 и 2) позволяют найти максимально допустимые значения уско-

ряющей силы, по которым определяются скорость проводника и пройденный путь.

При проектировании электромагнитных ускорителей твердых тел исходными являются требуемые значения скорости проводника (заданных размеров и плотности) и длина тракта ускорения. Используя (1) в относительных единицах, найдем выражение для скорости центра масс  $v_1$  и пройденного пути, равного длине тракта ускорения  $H_1$ :

$$v_1 = \frac{Bl^3}{EJ} \frac{12 - \beta_1}{48} (2\omega_1 \tau_1 - \sin 2\omega_1 \tau_1),$$

$$H_1 = \frac{Bl^3}{EJ} \frac{12 - \beta_1}{48\omega_1} (\omega_1^2 \tau_1^2 - \sin^2 \omega_1 \tau_1).$$

Для времени ускорения  $\tau_1$  имеем

$$(7) \quad \frac{\omega_1 H_1}{v_1} = \frac{(\omega_1 \tau_1)^2 - \sin^2 \omega_1 \tau_1}{2\omega_1 \tau_1 - \sin 2\omega_1 \tau_1}.$$

Ранее указывалось, что практически для всех встречающихся значений параметров наибольшие напряжения возникают в середине стержня. Таким образом, при вычислении сумм и интегралов можно считать  $\varepsilon_1 = 0$ , что существенно упрощает расчеты. Уравнение (5) при этом принимает вид

$$(8) \quad 8\beta_1^2 \Pi_2^* \Sigma_{i21} \sin \omega_1 \tau_1 - 4\beta_1 (\Pi_2^* \Sigma_{i20} \sin^2 \omega_1 \tau_1 - \Pi_1^* \Sigma_{i10}) + 1 = 0.$$

Здесь  $\Sigma_{i10}$  соответствует выражению для  $\Sigma_{i1}$  в соотношении (5) при  $\varepsilon_1 = 0$ ;

$$\begin{aligned} \Sigma_{i20} &= \sum_{i=1}^{\infty} \frac{\operatorname{tg} \frac{\xi_{2i-1}}{2}}{\xi_{2i-1}^7} \left[ \left( \operatorname{ch} \frac{\xi_{2i-1}}{2} \right)^{-1} + \left( \cos \frac{\xi_{2i-1}}{2} \right)^{-1} - 2 \right] f_{2i-1}(\tau_1); \\ \Sigma_{i21} &= \sum_{i=1}^{\infty} \frac{\operatorname{tg} \frac{\xi_{2i-1}}{2}}{\xi_{2i-1}^9} \left[ \left( \operatorname{ch} \frac{\xi_{2i-1}}{2} \right)^{-1} - \left( \cos \frac{\xi_{2i-1}}{2} \right)^{-1} - \frac{\xi_{2i-1}^2}{4} \right] f_{2i-1}(\tau_1). \end{aligned}$$

Выразив усилие в центре стержня через известное значение длины тракта ускорения

$$(9) \quad B = \frac{48H_1 E J \omega_1^2}{l^3 (12 - \beta_1)} (\omega_1^2 \tau_1^2 - \sin^2 \omega_1 \tau_1)^{-1}$$

и используя (8), получим соотношение для расчета допустимой неоднородности силовой нагрузки

$$(10) \quad (8K_1 \Sigma_{i21} - 4K_2 \Sigma_{i10} + 1) \beta_1^2 - (4K_1 \Sigma_{i20} - 48K_2 \Sigma_{i10} + 24) \beta_1 + 144 = 0,$$

$$\text{где } K_1 = \frac{2304H_1^2 E J \omega_1^4 \sin^2 \omega_1 \tau_1}{l^2 S [\sigma] (\omega_1^2 \tau_1^2 - \sin^2 \omega_1 \tau_1)^2}, \quad K_2 = \frac{48H_1 E \omega_1^2 \tau_1}{l [\sigma] (\omega_1^2 \tau_1^2 - \sin^2 \omega_1 \tau_1)}.$$

Уравнения (7)–(10) позволяют найти допустимые значения силовой нагрузки, с использованием которых можно определить параметры энергоисточника.

Расчеты предельной по условиям механических деформаций и предельной по условиям нагрева скорости (в предположении перехода металла на оси проводника в жидкую фазу [3]) показывают, что для практически достижимых степеней неоднородности силовой нагрузки ( $\beta_1 \geq 0,05$ ) ограничение скорости исходя из механических деформаций более жесткое, чем по условию нагрева. Таким образом, роль нагрева сводится к уменьшению прочности метаемого проводника, в результате чего он разрушается под действием механических нагрузок.

#### ЛИТЕРАТУРА

- Кейбл А. Ускорители для метания со сверхзвуковыми скоростями // Высокоскоростные ударные явления.— М.: Мир, 1973.
- О возможности применения электромагнитных ускорителей для исследования процессов, возникающих при высокоскоростном соударении твердых тел/В. Ф. Агарков, А. А. Блохинцев, С. А. Калихман и др. // ПМТФ.— 1982.— № 2.

3. Калихман С. А. Оптимизация режимов электродинамического ускорения цилиндрических проводников // ПМТФ. — 1985. — № 6.
4. Калихман С. А. Переходные электромагнитные процессы при взаимодействии импульсного магнитного поля с цилиндрическим проводником // Электричество. — 1981. — № 9.
5. Ольховский И. И. Курс теоретической механики для физиков. — М.: Наука, 1970.
6. Бисплингхофф Р. Л., Эшли Х., Халфмэн Р. Л. Аэроупругость. — М.: ИЛ, 1958.

г. Чебоксары

Поступила 3/V 1990 г.

УДК 533.6; 534.220

A. B. Емельянов, A. B. Еремин

## ОБОБЩЕННЫЕ ЭМПИРИЧЕСКИЕ ЗАКОНОМЕРНОСТИ ДИНАМИКИ СТАРТОВЫХ РАЗРЫВОВ ПРИ ЗАПУСКЕ НЕДОРАСШИРЕННЫХ СТРУЙ

Процесс формирования недорасширенной струи сопровождается образованием сложных газодинамических структур — ударных волн и волн разрежения, контактных поверхностей. Геометрия, амплитуды и динамика этих структур принципиально зависят от большого числа определяющих параметров, таких как параметры торможения и нерасчетность течения, состав газа, мерность потока, характерный размер сопла. Закономерности движения стартовых разрывов при запуске струй исследовались в большом количестве экспериментальных [1—4] и теоретических [5—8] работ. В [4, 7, 9] сделаны попытки введения обобщающих параметров, пригодных для моделирования процесса формирования струи в разных режимах течения. Отправными моментами в них являлись обобщающие параметры и критерии подобия, развитые для течений в стационарных сверхзвуковых струях, а также в теории точечного взрыва [10]. Последующими шагами этих исследований являлось введение дополнительных критериев, учитывающих особенности нестационарных процессов на стадии запуска струи [1, 2, 8]. Имеющиеся в настоящее время литературные данные в силу приближенности используемых аналитических моделей и ограниченности изученных экспериментальных режимов не дают возможности сформировать какие-либо универсальные критерии подобия, с использованием которых было бы возможно описать динамику стартовых газодинамических структур в виде уравнений, не зависящих от перечисленных выше определяющих параметров потока.

Цель настоящей работы — анализ большого количества экспериментальных данных по движению стартовых разрывов вдоль оси формирующейся струи и получение единых соотношений, описывающих их динамику в широком диапазоне определяющих параметров. Проведено большое количество экспериментов в двумерных (плоских) сверхзвуковых струях, истекающих из звукового щелевого сопла, в различных модельных газах ( $\text{Ar}$ ,  $\text{N}_2$ ,  $\text{CO}_2$ ) в широком диапазоне температур, давлений торможения и нерасчетностей формирующихся струй. Кроме того, проанализированы предшествующие экспериментальные данные [1—3], полученные как в плоских, так и в осесимметричных струях в диапазоне нерасчетностей от 10 до  $10^8$ .

В тех режимах экспериментов, когда истечение струи происходит в пространство с противодавлением, т. е. давление фонового газа  $p_\infty \geqslant 0,1\text{--}1$  Па, в стартовой области потока возникает нестационарная газодинамическая структура, которая помимо самого фронта истекающего газа включает первичную ударную волну, распространяющуюся в фоновом газе, и вторичную, согласующую давление в истекающем газе с давлением окружающего пространства. Распространяясь вверх по течению со скоростями, меньшими скорости потока, эта вторичная волна постепенно сносится от сечения ее образования вблизи среза сопла до своего стационарного положения. В ряде экспериментов наблюдалась не одна, а две вторичные волны [11], а также некоторые нерегулярности в динамике всех упомянутых стартовых разрывов.

В данной работе движение основных газодинамических разрывов (фрона истекающего газа, первичной и вторичной ударных волн) вдоль оси формирующейся струи проанализировано в рамках полиномов второй степени, отвечающих модельным представлениям [1, 7].

Эксперименты проводились на установке, представляющей сочетание ударной трубы и вакуумной камеры [11]. Истечение газа осуществлялось из щелевого сопла с полушириной  $r_* = 1,15$  мм, длиной  $d = 40$  мм, установленного в торце ударной трубы, соединенной с вакуумной камерой, в которой была смонтирована специальная приставка, организующая двумерность течения. Процесс истечения регистрировался шлирен-